

## مقابله غیرعامل با شنود لیزری با استفاده از مواد ضدبازتاب

حمید مرندی<sup>۱</sup>، سید عباس وزیری<sup>۲\*</sup>، جواد خلیلزاده<sup>۳</sup>

۱- دانشجوی کارشناسی ارشد، ۲- استادیار، ۳- دانشیار، دانشگاه جامع امام حسین (ع)

(دریافت: ۹۴/۰۷/۰۴، پذیرش: ۹۵/۰۲/۱۲)

### چکیده

در این مقاله، مقابله با شنود لیزری با استفاده از لایه‌های نازک جاذب نشانده شده روی شیشه جلوی منبع مکالمه، به صورت تجربی بررسی شده است. برای انجام این کار، نمونه‌های دارای پوشش تک، دو و سه لایه مشکل از مواد  $\text{MgF}_2$  و  $\text{TiO}_2$ ،  $\text{Al}_2\text{O}_3$ ،  $\text{Al}_2\text{O}_3$  و  $\text{MgF}_2$  ساخته و استفاده شد. لایه نشانی با روش تبخیر و با تفنگ پرتو الکترونی بر روی زیر لایه شیشه BK7 انجام گردید. در مراحل لایه نشانی، ضخامت اپتیکی توسط ضخامت سنج کنترل شد. به منظور بررسی تأثیر لایه‌های ضدبازتاب، درصد بازتابش و شدت نسبی طیف پرتو لیزر حاصل از بازتاب از سطح نمونه لایه نشانی شده، اندازه‌گیری شد. همچنین، با استفاده از نرم‌افزار شبیه‌ساز TFD Scope، نمودار صوتی مورد بررسی قرار گرفت. نتایج نشان داد که برای نمونه پوشش داده شده حاوی سه لایه  $\text{Al}_2\text{O}_3$ ،  $\text{TiO}_2$  و  $\text{MgF}_2$  در طول موج ۶۳۲/۸ نانومتر، درصد بازتاب پرتو لیزر به شدت کاهش یافته و به کمتر از ۱ درصد می‌رسد.

**کلید واژه‌ها:** شنود لیزری، مقابله غیرعامل، روش‌های فیزیکی، لایه نشانی

## Passive Laser Listening Countermeasure using Antireflection Materials

H. Marandi, S. A. Vaziri\*, J. Khalilzadeh

Imam Hossein University

(Received: 26/09/2015; Accepted: 01/05/2016)

### Abstract

In this research, laser listening countermeasure using absorbing layers deposited on surface of glass, which is located in front of the sound source was investigated experimentally. To do this, samples with one, two and three-layers of  $\text{Al}_2\text{O}_3$ ,  $\text{TiO}_2$ ,  $\text{MgF}_2$ , have made and used. Deposition performed by evaporation technique on BK7 glass substrate using electron gun beam. During the deposition, the optical thickness was controlled by the thickness monitoring system. Reflectance of layers and relative intensity of the reflected beam from the coated glass surface were measured due to investigation of the effect of anti-reflective layers. Using the TFD Scope simulation software the sound graph was evaluated too. The results showed that at 632.8 nm laser wavelength, the sample coated by three layers of  $\text{Al}_2\text{O}_3$  and  $\text{TiO}_2$ ,  $\text{MgF}_2$  significantly reduces the reflection of the laser beam to less than one percent.

**Keywords:** Laser Listening, Passive Countermeasure, Physical Methods, Coating

در مطالعات انجام شده مشخص شد که در کاربردهای گوناگون از جمله کنترل دما در گلخانه ها و همچنین ذخیره انرژی و جلوگیری از ورود گرمای بیرونی به درون منزل و یا محیط کار، از ورق های پلی کربنات های جاذب مادون قرمز [۱۱]، ویندوفیلم های بازتاب کننده<sup>۹</sup> و جاذب مادون قرمز [۱۲-۱۵]، ترکیبات جاذب مادون قرمز در ساخت شیشه [۱۶-۱۸] استفاده می شود.

البته لایه نشانی پوشش های ضدبازتاب به منظور کنترل میزان عبور، جذب و یا بازتاب انتخابی اشعه و نور خورشید نیز استفاده شده است [۱۹-۳۵].

از آنجاکه یکی از اصول شنود لیزری بازتاب پرتو لیزر و دریافت آن توسط آشکارساز می باشد، لذا به منظور جلوگیری از بازتاب پرتو لیزر و به تبع آن مقابله غیرعامل با شنود لیزری، در این تحقیق از روش لایه نشانی پوشش های ضدبازتاب جهت کاهش بازتاب پرتو لیزر و بررسی امکان سنجی مقابله غیرعامل با شنود لیزری با استفاده از مواد ضدبازتاب الهام گرفته شده است. گرچه اصولاً در سامانه های واقعی شنود، به دلیل محرومانه بودن این عمل، لازم است از طول موج های فروسرخ لیزری استفاده شود اما به دلیل یکسان بودن مبانی و روش کار و نیز با توجه به شرایط موجود، بازیکه لیزری مورد استفاده در محدوده طول موج ۶۳۲/۸ نانومتر انتخاب گردید. لایه نشانی ضدبازتاب شامل چند لایه نازک با کسری از طول موج مورد نظر است [۲۷] که بسته به کاربرد شامل چند لایه تا چند صد لایه از دو یا چند ماده مختلف بوده [۲۸] و به گونه ای انتخاب گردیده که با استفاده از معادله (۱)، ضریب شکست پوشش، بهینه باشد [۳۲].

$$(1) \quad n_{AR} = \sqrt{n_0 n_{SI}}$$

در معادله (۱)  $n_{AR}$  ضریب شکست پوشش ضدبازتاب،  $n_0$  ضریب شکست هوا،  $n_{SI}$  ضریب شکست زیرلایه در طول موج ۶۳۲/۸ نانومتر است [۳۳].

ضخامت اپتیکی نیز برای داشتن کمترین بازتاب از رابطه (۲) محاسبه می شود.

$$(2) \quad d_{AR} = \frac{n\lambda_0}{4n_{AR}}$$

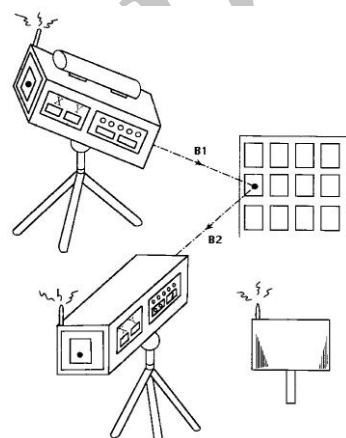
در معادله (۲)  $d_{AR}$  ضخامت اپتیکی پوشش ضدبازتاب بر حسب نانومتر،  $\lambda_0$  طول موج بر حسب نانومتر،  $n_{AR}$  ضریب شکست پوشش ضدبازتاب و  $n$  عدد فرد مثبت است [۳۴].

هاسکلاوا و همکاران ضخامت پوشش ضدبازتاب یک نمونه سه لایه را به ترتیب یک چهارم، یک دوم و یک چهارم طول موج مورد نظر و به شرح زیر انتخاب کردند [۳۵]:

۱- لایه اول از مواد دی الکتریک با ضریب شکست بین ۱/۶۰ تا ۱/۷۵ و ضخامت ۷۵۰ تا ۹۵۰ آنگستروم

## ۱. مقدمه

امروزه استفاده از لیزر در کاربردهای مختلفی همچون ذوب لیزری، آلیاژ سازی لیزری و شنود لیزری<sup>۱</sup> متدال شده است [۱-۴]. در شنود لیزری، پرتو لیزر<sup>۲</sup> موج پیوسته<sup>۳</sup> (CW) مدوله شده<sup>۴</sup> در طول موج نامنی و فرکانس قابل شنیدن، از یک فرستنده به سمت شیشه پنجره ساختمان تابانده شده و بازتاب آن توسط یک آشکارساز نوری<sup>۵</sup> دریافت و به صورت سیگنال هایی که بتوانند به صدا تبدیل شوند، آشکار می شود. چنین دستگاه هایی به میکروفون لیزری<sup>۶</sup> نیز تعبیر شده اند. در شکل (۱) نمایش ساده از سامانه شنود لیزری نشان داده شده است [۱۶-۲۰].



شکل ۱. نمایش ساده شنود لیزری از طریق شیشه پنجره

دو روش عمده الکترونیکی و فیزیکی برای مقابله با شنود لیزری وجود دارد که روش فیزیکی عمدهاً غیرعامل می باشد. نمونه هایی از روش های الکترونیکی، جمرها، مبدل های نیروی الکترومکانیکی هستند که متشکل از یک قطعه شدیدگر نصب شده بر روی شیشه جهت تولید نویز [۷] و دستگاه های ضداستراق سمع<sup>۷</sup> مبتنی بر فرستنده و گیرنده به گونه ای که در قسمت اول امواج صوتی به امواج الکتریکی تبدیل شده و به صورت بسته ای آکوستیکی به گیرنده ارسال می شود و در قسمت دوم، امواج الکتریکی تولید شده دریافت و دوباره به امواج صوتی تبدیل می شوند [۸].

از جمله روش های فیزیکی می توان به ساختار پنجره ضداستراق سمع با استفاده از ایجاد تداخل صوتی [۹]، فیلتر عبوری تداخلی چند لایه<sup>۸</sup> مادون قرمز اشاره کرد [۱۰].

<sup>1</sup>Laser Listening

<sup>2</sup>Laser Beam

<sup>3</sup>Continuous Wave

<sup>4</sup>Modulation

<sup>5</sup>Photodetector

<sup>6</sup>Laser Microphon

<sup>7</sup>Anti-Eavesdropping Window Structure

<sup>8</sup>Multilayer Interference Transmittance Filter

عملکرد و اثر نمونه‌های مختلف برای مقابله با شنود لیزری مورد مطالعه قرار گرفت. نمونه تکلایه  $TiO_2$  با استفاده از ذرات ۲۰ نانومتری دی‌اکسیدتیتانیوم با ضخامت  $\lambda/4$  طول موج مورد نظر بر روی زیرلایه BK7 لایه نشانی شده است.

نمونه ضدبازتاب دولایه ترکیبی از دولایه  $SiO_2$  و  $TiO_2$  می‌باشد که در آن  $SiO_2$  به عنوان ماده‌ای با ضریب شکست پایین معادل  $1/48$  در لایه اول و  $TiO_2$  به عنوان ماده‌ای با ضریب شکست بالا معادل  $2/17$  در لایه دوم قرار می‌گیرد. ضخامت هر دو لایه  $SiO_2$  و  $TiO_2$  در این آزمایش  $\lambda/4$  درنظر گرفته می‌شود. لایه نشانی ضدبازتاب سه لایه به گونه‌ای است که در آن لایه اول اکسیدآلومینیم ( $Al_2O_3$ ) با ضریب شکست  $1/62$  به عنوان یک ماده با ضریب شکست متوسط و به ضخامت  $\lambda/4$  (ربع طول موج مورد نظر) روی زیرلایه شیشه BK7 پوشش داده شده است. لایه دوم اکسیدتیتانیوم ( $TiO_2$ ) با ضریب شکست  $2/2$  به عنوان یک ماده با ضریب شکست بالا و به ضخامت  $\lambda/2$  (نصف طول موج مورد نظر) انتخاب شده و برای سومین لایه نیز از منیزیم‌فلوراید ( $MgF_2$ ) با ضریب شکست  $1/38$  به عنوان یک ماده با ضریب شکست پایین و به ضخامت  $\lambda/4$  (ربع طول موج مورد نظر) استفاده شده است.

### ۳-۲. آزمون‌های انجام شده به منظور بررسی تأثیر لایه نشانی مواد ضدبازتاب در مقابله غیرعامل با شنود لیزری

در ابتدا، با استفاده از نرم‌افزار شبیه‌ساز MACLEOD، نمودار درصد بازتاب پرتو لیزر از سطح هریک از نمونه‌های مذبور رسم و با توجه به کمترین میزان بازتاب به دست آمده، نمونه لایه نشانی سه لایه متتشکل از مواد  $Al_2O_3$ ،  $TiO_2$  و  $MgF_2$  به عنوان نمونه لایه نشانی شده اصلی جهت انجام سایر آزمایش‌های اصلی انتخاب شد.

در ادامه به منظور اطمینان از عملکرد صحیح نمونه لایه نشانی شده سه لایه، با استفاده از اسپکترومتر مدل S100، شدت نسبی طیف بازتابی تابش تضعیف شده لیزر و شدت نسبی طیف بازتابی ناشی از بازتاب نور لیزر از سطح لایه نشانی شده به دست آمد تا بتوان عملاً میزان کاهش بازتاب پرتو لیزر را از سطح لایه نشانی شده به دست آورد.

برای انجام آزمایش‌های شنود لیزری و بررسی عملکرد نمونه لایه نشانی شده، چیدمان سامانه شنود لیزری با استفاده از یک فرستنده پرتو لیزر در ناحیه  $632/8$ ، پایه نگهدارنده نمونه لایه نشانی شده و سامانه آشکارساز انجام شد. در شکل (۲) نمایی از چیدمان سامانه شنود لیزری به کارفته در آزمایش‌های مورد نظر نمایش داده شده است.

۲-۱. لایه دوم از مواد دی‌الکتریک با ضریب شکست بین  $1/95$  تا  $2/35$  و ضخامت  $1050$  تا  $1350$  آنگستروم

۳-۲. لایه سوم از مواد دی‌الکتریک با ضریب شکست بین  $1/38$  تا  $1/44$  و ضخامت  $1100$  تا  $1200$  آنگستروم با توجه به مطالب فوق، می‌توان از پوشش ضدبازتاب سه لایه  $Al_2O_3$ ،  $TiO_2$  و  $MgF_2$  به نحوی که ضریب شکست لایه اول  $1/38$  با ضخامت  $\lambda/4$  ضریب شکست لایه دوم  $2/2$  با ضخامت  $\lambda/2$  و ضریب شکست لایه سوم  $1/62$  با ضخامت  $\lambda/4$  باشد استفاده نمود.

## ۲. مواد، تجهیزات و روش

### ۲-۱. مواد و تجهیزات

در چیدمان آزمایشگاهی این تحقیق از لیزر هلیوم نئون با مشخصات فنی (طول موج:  $632/8$  نانومتر، قطر لکه:  $1$  سانتی‌متر، توان:  $5$  میلی‌وات)، اسپکترومتر مدل S100 (با ذره طیفی  $300$  تا  $1200$  نانومتر) شیشه BK7، دستگاه اسپلوسکوب و نرم‌افزار مربوطه، نمونه لایه نشانی<sup>۱</sup> شده تکلایه ( $TiO_2$ )، نمونه لایه نشانی شده دولایه ( $SiO_2$ ) و نمونه لایه نشانی شده سه لایه ( $Al_2O_3$ ،  $TiO_2$ ،  $MgF_2$ ) استفاده شد.

### ۲-۲. روش تهیه نمونه‌های لایه نشانی شده

انتخاب مواد جهت لایه نشانی و ترتیب قرارگرفتن آن‌ها بر روی هم و همچنین ضخامت هر لایه و رسم نمودار میزان بازتاب نور از فیلتر به دست آمده، بر اساس قوانین تداخل امواج الکترومغناطیس و ضریب شکست هر ماده و با استفاده از محاسبات ریاضی توسط نرم‌افزار شبیه‌ساز MACLEOD انجام شده است. در این بخش از سه نمونه تکلایه ( $TiO_2$ ، دولایه  $SiO_2+TiO_2$  و سه‌لایه ( $SiO_2+TiO_2$ ،  $Al_2O_3$  و  $MgF_2$ ) استفاده گردید.

لایه نشانی‌ها با روش تبخیر با تفنگ الکترونی<sup>۲</sup> در فشار  $5 \times 10^{-6}$  میلی بار و در دمای  $200$  درجه سانتی‌گراد و با ولتاژ  $6$  کیلوولت بر روی زیرلایه شیشه BK7 انجام شده و ضخامت سنجی به وسیله ضخامت‌سنج اپتیکی کنترل شده است.

برای تمیز کردن سطح مورد نظر جهت لایه نشانی، زیرلایه شیشه در دستگاه فراصوتی<sup>۳</sup> به مدت  $15$  دقیقه در محلول اسید کلریدریک  $0.2$  مولار جرم‌گیری و سپس به مدت  $15$  دقیقه در محلول استون قرار گرفته و در نهایت با آب مقطر شست و شو داده شده و با گاز نیتروژن خالص خشک گردیده است.

سه نمونه تکلایه، دولایه و سه‌لایه به منظور بررسی نحوه

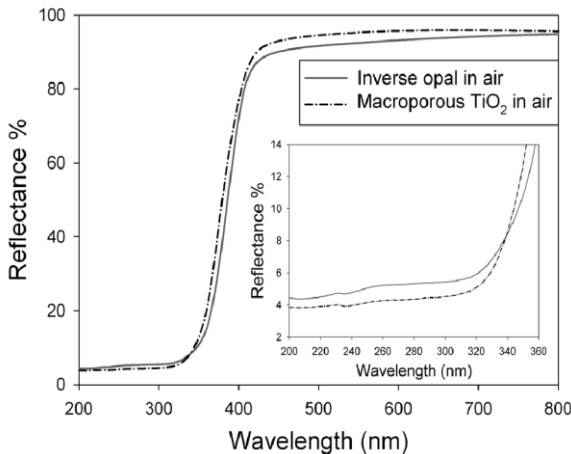
<sup>1</sup> Coating

<sup>2</sup> Electron Beam Gun

<sup>3</sup> Ultrasonic

همان طور که در شکل (۳) مشاهده می‌شود، درصد بازتاب لیزر از روی سطح شیشه BK7 در کمترین میزان و در محدوده نزدیک به  $800\text{ nm}$  بیش از  $7/7$  درصد می‌باشد که برای جلوگیری از شنود لیزری می‌بایست به گونه‌ای عمل نمود تا بازتاب لیزر به حداقل ممکن رسیده و به صفر نزدیک شود.

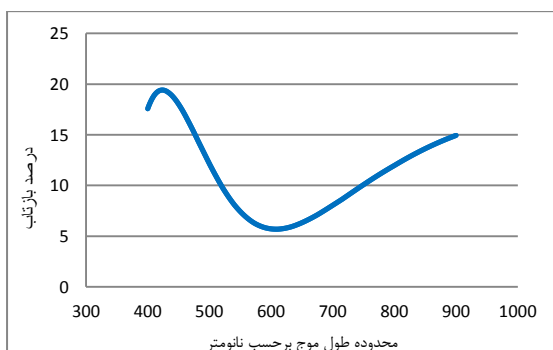
شکل (۴)، طیف بازتاب از پوشش لایه نشانی شده  $\text{TiO}_2$  را نشان می‌دهد.



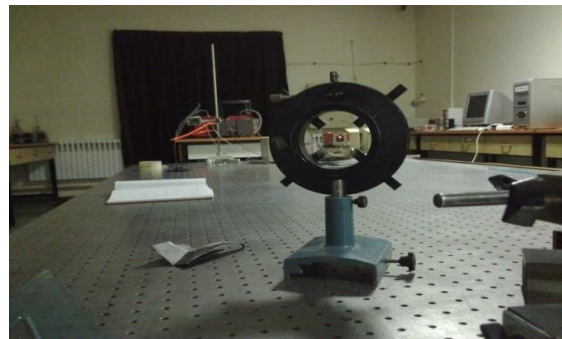
شکل ۴. نمودار طیف بازتاب  $\text{TiO}_2$

مطابق شکل (۴) مشخص است که پوشش لایه نشانی شده  $\text{TiO}_2$  در محدوده طول موج کمتر از  $300\text{ nm}$  دارای بازتاب کمتر از ۵ درصد بوده ولی در محدوده  $400\text{ nm}$  به بالا، بازتاب آن بسیار زیاد و نزدیک به  $90\%$  درصد می‌باشد که عملاً عدم کارایی آن برای مقابله با شنود لیزری محرز می‌گردد. در آزمایش‌های انجام شده بر روی پوشش تک‌لایه  $\text{TiO}_2$  نیز عملاً تغییر محسوسی در کاهش بازتاب پرتو لیزر مشاهده نگردید و صدای پشت شیشه همچنان قابل شنیدن بود.

نمودار درصد بازتاب نمونه لایه نشانی دولایه  $\text{TiO}_2+\text{SiO}_2$  برای محدوده  $632/8\text{ nm}$  در شکل (۵) نشان داده شده است.



شکل ۵. نمودار درصد بازتاب نمونه لایه نشانی دولایه  $\text{TiO}_2+\text{SiO}_2$  برای محدوده  $632/8\text{ nm}$



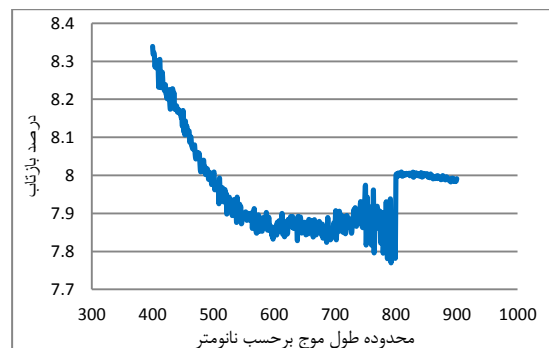
شکل ۲. نمایی از چیدمان سامانه شنود لیزری

در پایان، صدای حاصل از دریافت امواج توسط آشکارساز به‌وسیله نرمافزار صوتی Music Morpher Gold ضبط، و با استفاده از نرمافزارهای ویرایش صدا مانند Cool Record Edit، نسبت به حذف نویزهای حاصله اقدام شد. در نهایت با استفاده از نرمافزار شبیه‌ساز TFD Scope، نمودار صوت حاصل از شنود لیزری که توسط آشکارساز به‌دست آمده، بر اساس دسیبل بر حسب فرکانس ترسیم و مورد بررسی قرار گرفته است.

### ۳. نتایج و بحث

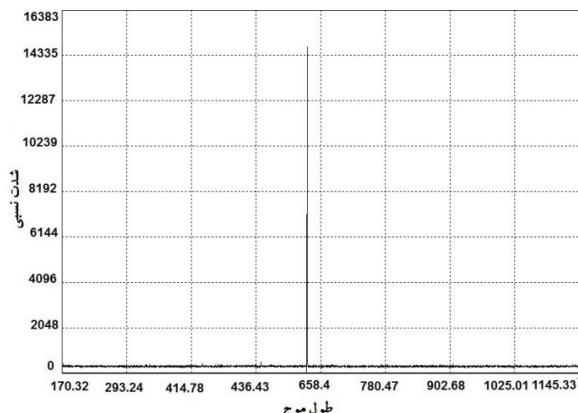
#### ۳-۱. بررسی نمودار درصد بازتاب نمونه‌های لایه نشانی شده

باتوجه به این که مکانیسم شنود لیزری به گونه‌ای است که از تاباندن نور لیزر بر روی شیشه و دریافت بازتاب آن صدای تولیدشده در پشت هدف (شیشه) قابل شنیدن خواهد بود، لذا ملاک عمل برای مقابله غیرعامل با شنود لیزری در این تحقیق، کاهش میزان بازتاب پرتو لیزر درنظر گرفته شده است. بهمین منظور، برای مقایسه اثر لایه نشانی نمونه‌های موردنظر بر روی بازتاب لیزر با نمونه‌های بدون پوشش، در ابتدا طیف بازتاب لیزری زیرلایه (شیشه BK7) حاصل شد تا بتواند به عنوان معیار اندازه‌گیری در نمونه‌ها مورد استفاده قرار گیرد. در شکل (۳) درصد بازتاب لیزر از زیرلایه شیشه BK7 نشان داده شده است.

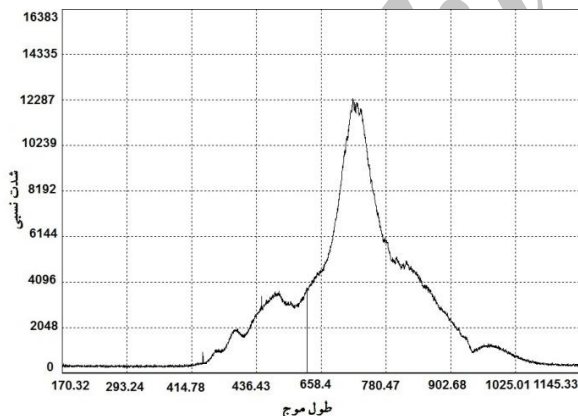


شکل ۳. نمودار درصد بازتاب شیشه BK7 بدون لایه نشانی برای محدوده  $632/8\text{ nm}$

همان‌گونه‌که در شکل (۷) مشاهده می‌شود، شدت نسبی پرتو لیزر بسیار زیاد و به حدود ۱۴۵۰۰ رسیده است. بدیهی است که در صورت عدم تضعیف نور مستقیم لیزر و تاباندن پرتو کامل لیزر به‌سمت گیرنده اسپکترومتر، شدت نسبی به‌دست‌آمده بسیار بیش‌تر از میزان حاصله است. شدت نسبی طیف نور لیزر به‌دلیل استفاده از پرتو لیزر قرمز ۶۳۲ نانومتر، بهصورت یک پیک در همان ناحیه ۶۳۲ نانومتر به‌دست آمده و درصورتی که از نور معمولی استفاده شود، نمودار حاصله شامل دامنه‌ای از طول موج خواهد بود که در شکل (۸) نمایش داده شده است.



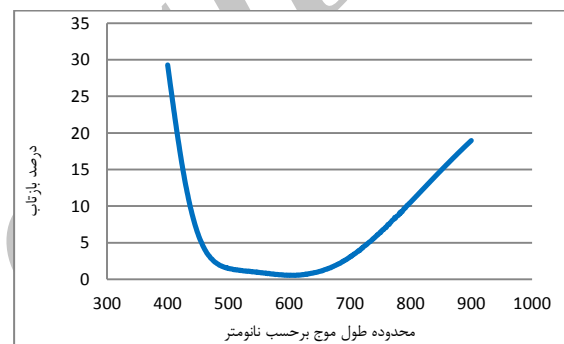
شکل ۷. شدت نسبی طیف نور مستقیم لیزر قرمز با طول موج ۶۳۲/۸ نانومتر یافته از شیشه بدون پوشش و برحسب نانومتر با استفاده از اسپکترومتر مدل S100



شکل ۸. شدت نسبی طیف نور معمولی تابانده شده به گیرنده اسپکترومتر مدل S100

در گام بعدی، با استفاده از نمونه سه لایه  $\text{TiO}_2$ ,  $\text{Al}_2\text{O}_3$  و  $\text{MgF}_2$  تابش بازتابی نور مستقیم لیزر بدون این که تضعیف شود به سمت آشکارساز اسپکترومتر هدایت گردید به‌گونه‌ای که نور لیزر بدون تضعیف مستقیماً به قسمت پشت نمونه لایه نشانی شده تابانده شد و بازتاب آن به‌طور کامل به‌سمت آشکارساز هدایت گردید و با وجود این که لایه نشانی مواد ضدبازتاب در طرف دیگر

همان‌طورکه از شکل (۵) مشاهده می‌شود، با استفاده از پوشش دولایه  $\text{TiO}_2+\text{SiO}_2$ ، بازتاب لیزر نسبت به نمونه تک‌لایه  $\text{TiO}_2$  (شکل ۴) به‌طور قابل ملاحظه‌ای کاهش یافته و در محدوده ۴۰۰ نانومتر میزان بازتاب به ۲۰ درصد و در محدوده طول موج ۶۳۲/۸ نانومتر که آزمایش‌های موردنظر انجام می‌شود، میزان آن به حدود ۶ درصد رسیده است. پس از آن نیز مجدداً درصد بازتاب افزایش یافته و به بیش از ۱۵ درصد می‌رسد اما با وجود کاهش میزان بازتاب لیزر از سطح شیشه به نسبت نمونه تک‌لایه  $\text{TiO}_2$ ، پوشش دولایه  $\text{TiO}_2+\text{SiO}_2$  جلوگیری از انتقال صوت گردد. درصد بازتاب به‌دست‌آمده از نمونه لایه نشانی سه لایه  $\text{Al}_2\text{O}_3$ ,  $\text{MgF}_2$  و  $\text{TiO}_2$  در محدوده ۶۳۲ نانومتر در شکل (۶) نشان داده شده است.



شکل ۶. نمودار درصد بازتاب نمونه سه لایه  $\text{Al}_2\text{O}_3$ ,  $\text{MgF}_2$  و  $\text{TiO}_2$  برای محدوده طول موج برحسب نانومتر

همان‌طورکه از شکل (۶) مشاهده می‌شود، درصد بازتاب لیزر در این نمونه به کمتر از یک درصد کاهش یافته که این شرایط برای مقابله با شنود لیزری بسیار مطلوب و قابل قبول بوده و بر همین اساس نمونه لایه نشانی سه لایه  $\text{Al}_2\text{O}_3$ ,  $\text{MgF}_2$  و  $\text{TiO}_2$  به‌عنوان نمونه اصلی برای مقابله با شنود لیزری انتخاب شده و سایر آزمایش‌ها بر روی آن انجام شده است.

## ۲-۲. بررسی شدت نسبی طیف نور با استفاده از اسپکترومتر مدل S100

به‌منظور اطمینان از عملکرد صحیح نمونه لایه نشانی سه لایه متشکل از مواد  $\text{MgF}_2$ ,  $\text{Al}_2\text{O}_3$  و  $\text{TiO}_2$ ، با استفاده از اسپکترومتر مدل S100، شدت نسبی طیف بازتابی تابش تضعیف شده لیزر و شدت نسبی طیف بازتابی ناشی از بازتاب نور لیزر از سطح لایه نشانی شده به‌دست آمد. در ابتدا طیف شدت نور مستقیم لیزر در حالت تضعیف شده با استفاده از آینه به‌گونه‌ای که بخش کمی از نور لیزر منعکس شده از شیشه بدون پوشش به گیرنده اسپکترومتر گسیل داده شود، به‌دست آمد که در شکل (۷) نشان داده شده است.

همان طور که در شکل (۱۰) مشاهده می شود، پیک نمودار حاصله در همان محدوده طول موج ۶۳۲ نانومتر اتفاق افتاده است با این تفاوت که این بار، کاهش بیش از پیش و بسیار قابل قبول شدت نسبی طیف پرتو لیزر را در پی داشته است که این کاهش بهدلیل عملکرد صحیح لایه ضد بازتاب سه لایه  $\text{Al}_2\text{O}_3$  و  $\text{TiO}_2$  و  $\text{MgF}_2$  می باشد.

پس از مقایسه نمودارهای فوق، مشاهده می شود که شدت نسبی بخشی از پرتو لیزر تضعیف شده تابانده شده بر روی حسگر اسپکترومتر مدل S100 در ناحیه ۶۳۲ نانومتر معادل ۱۴۸۴۷ به دست آمده در حالی که پس از استفاده از فیلتر سه لایه، شدت نور کامل لیزر بازتاب شده بدون تضعیف از سطح روی نمونه دارای پوشش سه لایه  $\text{Al}_2\text{O}_3$  و  $\text{TiO}_2$  و  $\text{MgF}_2$  به طور قابل ملاحظه ای کاهش یافته و این مقدار به کمتر از ۴۰۹۶ رسیده است که این صرفاً بهدلیل استفاده از ضد بازتاب سه لایه  $\text{Al}_2\text{O}_3$  و  $\text{TiO}_2$  و  $\text{MgF}_2$  بوده است.

### ۳-۳. بررسی صوت در بیانی بازتابی از زیرلایه BK7 و نمونه لایه نشانی شده سه لایه $\text{Al}_2\text{O}_3$ و $\text{TiO}_2$ و $\text{MgF}_2$ در سامانه شنود لیزری

آزمایش های شنود لیزری جهت تشخیص صوت توسط سامانه شنود لیزری شرح داده شده در بخش تجربی، انجام شد. برای این منظور ابتدا شرایط آزمایشگاهی در محیط کاملاً تاریک جهت به حداقل رساندن اثر نویز نور محیط بر روی آشکارساز فراهم گردیده و سامانه شنود لیزری به گونه ای طراحی شد که پرتو لیزر از چشمۀ تولید کننده لیزر قرمز با طول موج ۶۳۲/۸ نانومتر به سمت هدف (شیشه یا نمونه لایه نشانی شده) گسیل داده شده و از آنجا به سمت حسگر اپتیک لیزری گیرنده پرتو لیزر بازتاب شود.

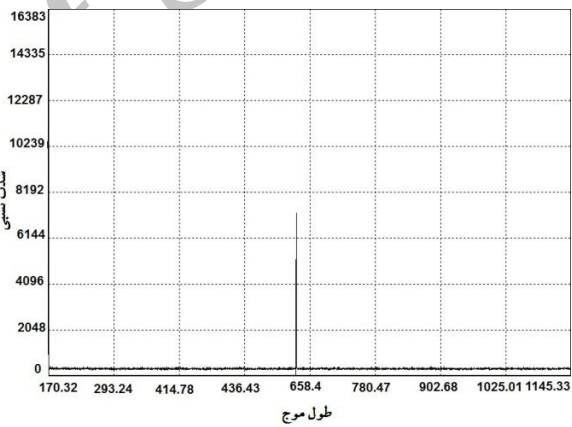
پس از ایجاد شرایط مناسب آزمایشگاهی و از بین بردن عوامل تولید کننده نویز، ابتدا برای این که بتوان میزان نویز ذاتی آشکارساز را اندازه گیری نمود، شدت صدای ضبط شده بر حسب دسی بل در شرایطی که هیچ گونه صدا و نوری وجود نداشته و منبع نور لیزر نیز فعال نبود، اندازه گیری شد که میزان آن در شکل (۱۱) قابل مشاهده می باشد.

باتوجه به شکل (۱۱) مشخص است که نویز ذاتی آشکارساز بسیار ناچیز بوده و در محدوده ۱ و ۲ کیلوهرتز افزایش اندکی داشته و در سایر محدوده ها قابل مشاهده نمی باشد. در ادامه، ضمن تاباندن پرتو لیزر بازتاب یافته از سطح زیرلایه شیشه (بدون پوشش) و در حالی که هیچ گونه صوتی پخش نگردید، میزان نویز آشکارساز در برخورد پرتو لیزر بازتابی مورد ارزیابی قرار گرفت که نتیجه آن در شکل (۱۲) نشان داده شده است.

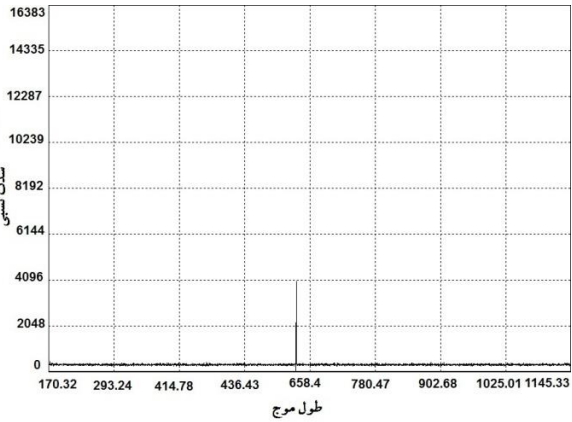
زیرلایه قرار داشته و بازتاب کامل نور لیزر مستقیماً به آشکارساز رسیده بود، با این حال کاهش قابل ملاحظه شدت نسی طیف نوری مربوطه تا حدود ۷۵۰۰ حاصل گردید که در شکل (۹) نشان داده شده است. به عبارتی پس از استفاده از قسمت پشت نمونه لایه نشانی شده حدود ۰.۵٪ کاهش در بازتاب مشاهده می شود.

همان طور که در شکل (۹) مشاهده می شود، پیک نمودار بهدلیل استفاده از لیزر ۶۳۲ نانومتر، در همان محدوده وجود داشته ولی بهدلیل استفاده از پوشش ضد بازتاب در پشت شیشه، شدت بازتاب کاهش یافته و از آنجاکه بازتاب پرتو لیزر از قسمت پشت نمونه اتفاق افتاده است، لذا پیش بینی می شود قسمت روی نمونه عملکرد بسیار مطلوب تری داشته باشد.

در پایان نیز بازتاب مستقیم و کامل پرتو لیزر تضعیف نشده از روی شیشه یعنی سمتی که لایه نشانی شده است بر روی آشکارساز هدایت شد که در شکل (۱۰) نشان داده شده است.

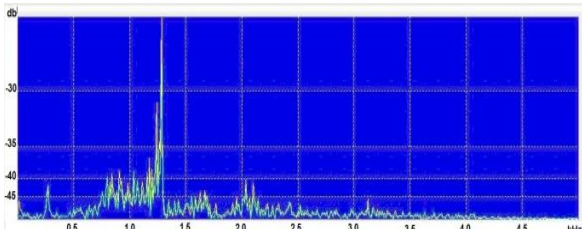


شکل ۹. شدت نسبی طیف نور مستقیم لیزر پس از بازتاب قسمت پشت نمونه لایه نشانی شده ضد بازتاب (سه لایه) با استفاده از اسپکترومتر مدل S100

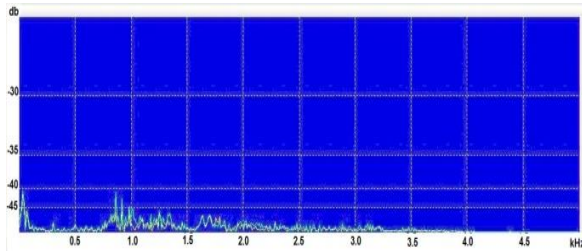


شکل ۱۰. شدت نسبی طیف نور مستقیم لیزر پس از عبور از قسمت جلوی نمونه لایه نشانی شده ضد بازتاب (سه لایه) با استفاده از اسپکترومتر مدل S100

در ادامه، نمونه لایه نشانی شده سه لایه  $\text{TiO}_2$ ,  $\text{Al}_2\text{O}_3$  و  $\text{MgF}_2$ , جایگزین شیشه بدون پوشش شده و آزمایش شنود لیزری با شرایط قبلی و در حالی که صدا از منبع تولید صوت در پشت نمونه لایه نشانی شده در حال پخش بود تکرار شد (شکل ۱۴). از مقایسه نتایج بر اساس شکل‌های (۱۴) و (۱۳)، ملاحظه می‌شود که پیک ناشی از صدای دریافتی در آزمایش قبلی از بین رفته و نمودار حاصل از آن شباهت زیادی به شکل (۱۱) دارد و مفهوم آن این است که صدای دریافتی ناشی از نویز (۱۱) پس زمینه و پخش ناچیزی از پرتو بازتابی لیزر است.



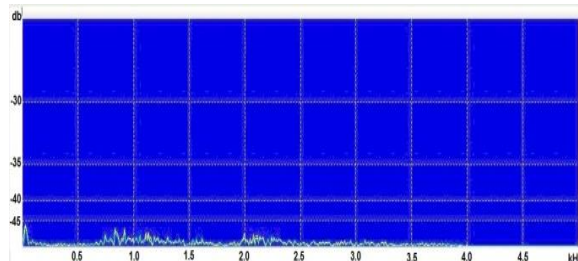
شکل ۱۳. نمودار صدای ضبط شده حاصل از ارتعاشات صوتی سطح نمونه شیشه BK7 بدون پوشش توسط خروجی مدار حس گر دریافت کننده لیزر



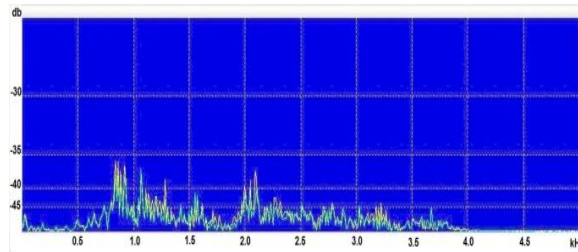
شکل ۱۴. نمودار صدای ضبط شده از خروجی آشکارساز با پوشش سه لایه

#### ۴. نتیجه‌گیری

آزمایش‌های انجام شده در این تحقیق نشان داد که لایه نشانی شده تک لایه  $\text{TiO}_2$  برای مقابله با شنود لیزری نمی‌باشد یا استفاده از پوشش دو لایه  $\text{TiO}_2 + \text{SiO}_2$ , هرچند بازتاب پرتو لیزر نسبت به نمونه تک لایه  $\text{TiO}_2$  به طور قابل ملاحظه‌ای کاهش یافته و در محدوده طول موج  $632/8$  نانومتر میزان آن به حدود ۶ درصد می‌رسد، لیکن پوشش دو لایه  $\text{TiO}_2 + \text{SiO}_2$  نیز عملاً نمی‌تواند موجب جلوگیری از انتقال صوت گردد. نتایج نشان داد که با استفاده از پوشش سه لایه  $\text{TiO}_2$ ,  $\text{Al}_2\text{O}_3$  و  $\text{MgF}_2$  در ناحیه  $632/8$  نانومتر، درصد بازتاب پرتو لیزر به شدت کاهش یافته و به کمتر از ۱ درصد رسید. در عمل نیز پس از انجام آزمایش شنود لیزری، امکان شنود لیزری وجود نداشت. لذا امکان استفاده از این روش برای مقابله غیرعامل با شنود لیزری در نواحی مختلف طیفی از جمله فروسرخ با لایه نشانی‌های مختلف وجود دارد.



شکل ۱۱. نمودار نویز ذاتی آشکارساز لیزر بدون تابش نور بازتابی لیزر



شکل ۱۲. نمودار نویز ضبط شده از خروجی مدار حس گر دریافت کننده لیزر حاصل از بازتاب نور لیزر از نمونه شیشه BK7 بدون پوشش و بدون صدا

همان‌گونه که از نمودار فوق به دست می‌آید، در اثر بازتاب نور لیزر، میزان نویز دریافتی به میزان قابل توجهی افزایش یافته و از شدت و ضعف در محدوده  $0/5$  تا  $4$  کیلوهرتز برخوردار است که در ناحیه نزدیک به  $1$  و  $2$  کیلوهرتز از شدت بیشتری برخوردار بوده و دارای نقاط پیک می‌باشد. در این مرحله ضمن تأیید عملکرد سامانه آشکارساز، مشخص می‌شود که میزان امواج دریافت شده در این مرحله بسیار بیشتر از حالت قبل بوده و پس از تقویت و تبدیل امواج به صدای قابل شنیدن، صدای خشن خش ناشی از برخورد پرتو بازتابی لیزر از سطح شیشه به حس گر اپتیکی آشکارساز، از بلندگوهای نصب شده قابل شنیدن بود.

در گام بعدی منبع تولید صدا در پشت شیشه BK7 بدون پوشش قرار گرفته و پس از تولید صدا، پرتو لیزر حاصل از بازتاب از سطح شیشه به صورت مدوله شده به سمت آشکارساز هدایت شد که در قسمت آشکارساز قابل شنیدن بود که پس از آنالیز صوت دریافتی و حذف پخش قابل توجهی از نویز بهوسیله نرم‌افزارهای صوتی، صدای نسبتاً واضح قابل دست‌یابی می‌باشد.

نمودار به دست آمده (شکل ۱۳) شباهت بسیار زیادی به نویز حاصل از برخورد پرتو بازتابی لیزر به آشکارساز دارد، با این تفاوت که در ناحیه حدود  $1/35$  کیلوهرتز، پیک حاصل از صوت پخش شده نسبت به نمودار نویز ذاتی و نویز زمینه، کاملاً قابل تشخیص بوده و صدای پخش شده در پشت نمونه شیشه BK7 بدون پوشش، توسط بلندگوهای نصب شده در سامانه آشکارساز، به طور کامل قابل شنیدن و تشخیص می‌باشد.

## ۵. مراجع

- [19] Abbasi, S.; Maleki M. H.; Davodi S.; Hoseinzadeh Lish, I.; Vaez Zade, M. "Optimization of Anti-Reflecting Thin Films of Nd:YAG Laser using the Laser Shock Peening Method and Investigation of Their Laser Induced Damage Thresholds"; Iran Third National Conference on Optical Engineering 2013, 762-767. (In Persian)
- [20] Mukhopadhyay, S.; Yamin, P.; Lea, D. "Anti-Reflective Coatings for Optically Transparent Substrates"; US Patent 8,784,985, 2014.
- [21] Tilsch, M. K.; Robert B. S.; Charles, A. H. "Dielectric Multilayer Filters"; Wavelength Filter Fibre Opt. Springer Berlin Heidelberg, 2006, 289-340.
- [22] Liu, M. C.; Lee, C. C.; Liao, B. H.; Kaneko, M.; Nakahira, K.; K Takano, Y. "Fluoride Antireflection Coatings Deposited at 193 nm"; Appl. opt. 2008, 47, 214-218.
- [23] Tan, M.; Yongchang, L.; Dazun, Z. "Reflection Filter with High Reflectivity and Narrow Bandwidth"; Appl. opt. 1997, 36, 827-830.
- [24] Asghar, M. H.; Shoaib, M.; Placido, F.; Naseem, S. "Modeling and Preparation of Practical Optical Filters"; Curr. Appl. Phys. 2009, 9, 1046-1053.
- [25] Lee, C. C.; Chen, S. H.; Kuo, C. C.; Wei, C. Y. "Achievement of Arbitrary Bandwidth of a Narrow Bandpass Filter"; Optics Express. 2007, 15, 15228-15233.
- [26] Hass, G. "Physics of Thin Films: Advances in Research and Development"; Academic Press: New York and London, 1963.
- [27] Litovchenko, V. G.; Klyui, N. I. "Solar Cells Based on DLC Film-Si Structures for Space Application"; Sol. Energy Mater. Sol. Cell. 2001, 68, 55-70.
- [28] Grill, A. "Electrical and Optical Properties of Diamond-Like Carbon"; Thin Solid Films 1999, 355, 189-193.
- [29] Boulos, E. N.; Mark F. B. "Low Color Purity, Anti-Reflection Coatings for Transparent Glazing Oriented at High Angles of Incidence"; US Patent 5,194,990, 1993.
- [30] Song, M. K.; Yang, W. S.; Kwon, S. W.; Song, Y. S.; Cho, N. I.; Lee, D. Y. "Influence of Deposition Method on Refractive Index of SiO<sub>2</sub> and TiO<sub>2</sub> Thin Films for Anti-Reflective Multilayers"; J. Korean Ceram. Soc. 2008, 45, 524-530.
- [31] Shanbhogue, H. G.; Nagendra, C. L.; Annapurna, M. N.; Thutupalli, M. N. "Multilayer Antireflection Coatings for the Visible and Near-Infrared Regions"; Appl. Opt. 1997, 36, 6339-6351.
- [32] Suzuki, Y.; Gouichi H. "Infrared Absorbent"; US Patent 4,763,966, 1988.
- [33] Hasegawa, S.; Gen M. "Near Infrared Absorption Filter"; US Patent 6,117,370, 2000.
- [34] Roche, S.; Erwan, M.; Laurent, L. "Transparent Substrate with Anti-Reflection Coating"; US Patent 20110100424, 2011.
- [35] Hasegawa, S.; Gen M. "Near Infrared Absorbing Compound"; US Patent 6,388,116, 2002.
- [1] Vaziri, S. A.; Shahverdi, H. R.; Shabestari, S. G.; Torkamany, M. J. "Effect of Beam Interaction Time on Laser Alloying with Pulsed Nd-YAG Laser"; Mater. Sci. Technol. 2009, 25, 1234-1237.
- [2] Vaziri, S. A.; Shahverdi, H. R.; Torkamany, M. J.; Shabestari, S. G. "Effect of Laser Parameters on Properties of Surface-Alloyed Al Substrate with Ni"; Opt. Lasers. Eng. 2009, 47, 971-975.
- [3] Vaziri, S. A.; Shahverdi, H. R.; Shabestari, S. G.; Hazeli, K.; Torkamany, M. J. "Effect of Re-Scanning on Tribological Characterization of Laser Surface Alloyed Layers"; Mater. Des. 2010, 31, 3875-3879.
- [4] Omranian, P.; Shahverdi, H. R.; Torkamany, M. J.; Vaziri, S. A. "The Effects of Nd: YAG Laser Surface Melting Parameters on the Solidification Behavior of Aluminium Surface"; Mater. Focus. 2012, 1, 239-244.
- [5] Moses, James M.; Trout, K. P. "A Simple Laser Microphone for Classroom Demonstration"; Phys. Teach. 2006, 44, 600-603.
- [6] Nakao, M.; Masahiko, H. "Voice Monitoring System using Laser Beam"; US Patent 6,317,237, 2001.
- [7] Cassey, M. C.; Bank, G. "Listening/Anti Eavesdropping Device"; WO Patent 2003009499, 2003.
- [8] Kury, C. A. "Anti-Eavesdropping Device"; US Patent 5,533,131, 1996.
- [9] Derner, P.; Peter, R. "Anti-Eavesdropping Window Structure"; US Patent 4,829,729, 1989.
- [10] Francois F. G.; Gif-sur-Yvette; Jacqueline J. P. "Infrared Interference Filter"; US Patent 3,514,174, 1970.
- [11] Amano, S.; Hasegawa, S.; Masuda, G. "Near Infrared Absorbent Polycarbonate Films"; EP Patent 0,942,039, 2004.
- [12] Kase, M.; Hironobu A. "Window film"; US Patent 5,925,453, 1999.
- [13] Adochio W.; Gaudet G. T.; Rardon D. E.; Still M. A. "Transparent Colorless Infrared Radiation Absorbing Compositions Comprising Nanoparticles"; AU 2014201745, 2014.
- [14] Miyake, Y.; Sakae T. "Near-Infrared Absorbing Transparent Resin Composition and Article Molded Therefrom"; US Patent 5,514,740, 1996.
- [15] Castellion, G. A.; Joseph, P. H. "Plastic optical filter"; US Patent 3,692,688, 1972.
- [16] Hironori, O.; Kazou, T. "Near Infrared Absorption Filter Glass"; US Patent 5,668,066, 1997.
- [17] Yeong, L.; Sunnyvale, G. "Infrared Absorbing Green Glass"; US Patent 5,036,025, 1991.
- [18] Sun, W.; Yu, D. "Near-Infrared Absorption Glass, Element and Filter"; US Patent 13,622,084, 2012.